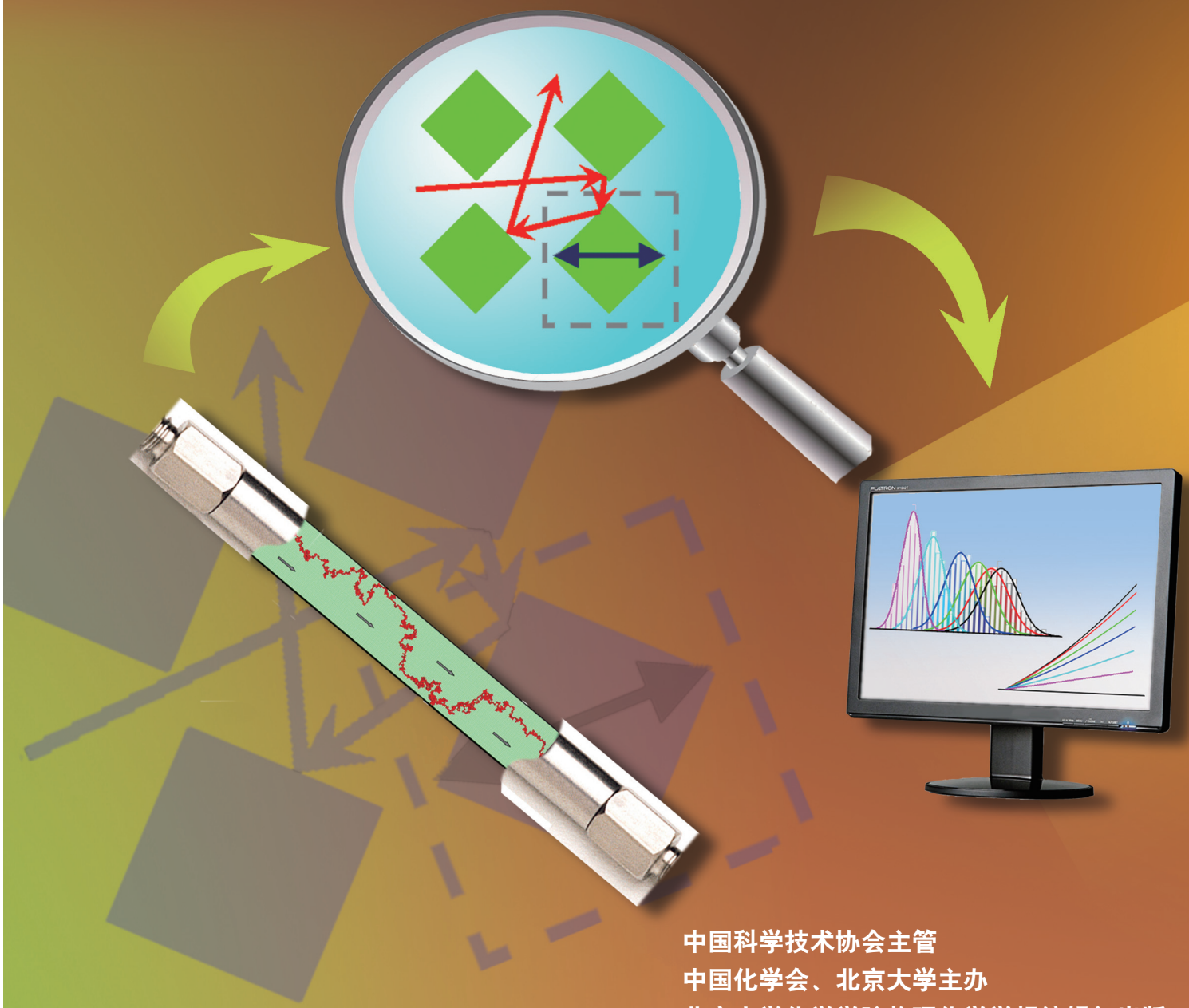


物理化学学报

ACTA PHYSICO-CHIMICA SINICA

第 28 卷 第 12 期 Vol.28 No.12 2012



中国科学技术协会主管
中国化学会、北京大学主办
北京大学化学学院物理化学学报编辑部出版

《物理化学学报》

ACTA PHYSICO-CHIMICA SINICA

SCIE、CA、SCOPUS、AJ、JICST、CSTPCD 等数据库收录
2011 年平均出版周期，“在线预览”为 97 天(3.2 个月)，印刷版为 154 天(5.1 个月)

办刊理念：以服务求支持、以贡献求发展

将中国的《物理化学学报》办成有世界影响力的学术刊物，
离不开您的参与和贡献(投稿、审稿、阅读、引用)。

基金资助

国家自然科学基金委员会重点学术期刊专项基金项目
中国科协精品科技期刊工程项目

特色服务

接受英文和中文稿件，英文稿件录用后优先发表
“通讯”类稿件免收版面费
所有投稿免收评审费
聘请国外专家润色英文摘要
网站开通了在线预览(Articles in Press)功能。创刊以来所有文章
都已录入和发布到网站上，并已全部可在 SCI 网站检索。



The journal has been indexed in SCIE, CA, SCOPUS, AJ, JICST, and CSTPCD.

The average publication time is 97 days for the web version and 154 days for the printed version in 2011.

ACTA PHYSICO-CHIMICA SINICA

Scope of the Journal

THERMODYNAMICS, KINETICS, AND STRUCTURAL CHEMISTRY (chemical equilibrium and thermodynamic parameters, calorimetry, nonequilibrium thermodynamics and dissipative structure, statistical thermodynamics, macrokinetics, molecular dynamics, ultrafast dynamics, excited states, solution chemistry, complex fluids, solution structure, atmospheric chemistry, dynamic structure, molecular structure, bulk structure, clusters, spectroscopy)

THEORETICAL AND COMPUTATIONAL CHEMISTRY (quantum chemistry, statistical mechanics, simulation methods and application, computational chemistry, chemical informatics)

ELECTROCHEMISTRY AND NEW ENERGY (electrode kinetics, interfacial electrochemistry, electrocatalysis, spectroelectrochemistry, electrochemical surface science, material electrochemistry, photoelectrochemistry, nano-electrochemistry, electrochemical energy conversion and storage, corrosion electrochemistry)

SOFT MATTER (surfactant, dispersion system and rheological property, molecular assembly and aggregate, macromolecule, interface structure)

CATALYSIS AND SURFACE SCIENCE (heterogeneous catalysis, homogeneous catalysis, biomimetic catalysis, photocatalysis, environmental chemistry, green chemistry, membrane, surface structure, surface adsorption)

PHOTOCHEMISTRY AND RADIATION CHEMISTRY (photochemistry, photophysics, photographic chemistry, material photochemistry, plasma chemistry, radiation chemistry, optoelectronic devices)

BIOPHYSICAL CHEMISTRY (structure biophysical chemistry, bio-photoelectric chemistry and thermodynamics, kinetics of life process)

PHYSICAL CHEMISTRY OF MATERIALS (nano and meso structure, nanometer material, nanometer science, physicochemical property of materials)

The journal accepts papers in English and Chinese.
Submit Your Contribution Now!

物理化学学报(Wuli Huaxue Xuebao)

第 28 卷第 12 期(2012 年 12 月)

目 次

热力学、动力学和结构化学

- 飞秒时间分辨的光电子影像研究氯化苯分子内转换动力学 丁中华 邱学军 徐晏琪 王艳梅 张冰(2761)
对氯硝基苯吸附在银纳米粒子上的偶联反应 罗文丽 苏亚琼 田向东 赵刘斌 吴德印 田中群(2767)
具有 π 共轭骨架的Salen-卟啉型同、异双核配合物的合成及谱学性质 王官耀 闫伟伟 张晓红 阮文娟 朱志昂(2774)
基于1H-苯并咪唑-2-羧酸的三个镧系超分子化合物的结构、热分解动力学和荧光性质 段林强 乔成芳 魏青 夏正强 陈三平 张国春 周春生 高胜利(2783)

理论与计算化学

- 基于启发式方法和支持向量机方法预测有机物的热导率 时静洁 陈利平 陈网桦 石宁 杨惠 徐伟(2790)
基于分离粒子随机扩散理论的色谱模拟 郭彦 傅应强 孙寅璐 陈天南 赵健伟(2797)
5-甲基胞嘧啶及胞嘧啶无辐射失活的半经典动力学模拟和CASSCF计算 袁帅 马静 张文英 舒坤贤 豆育升(2803)
取代基对1-甲基尿嘧啶与N-甲基乙酰胺氢键复合物中氢键强度的影响 刘冬佳 王长生(2809)
二聚体 $C_2H_{4-n}F_n \cdots LiH$ ($n=0, 1, 2$) 中 π 锂键的性质和弱方向性 王树建 李莹 吴迪(2817)
烷基自由基 β 位裂解反应势垒与速率常数的精确计算 汪必耀 谈宁馨 姚倩 李泽荣 李象远(2824)
硅苯与HX (X=F, OH, NH₂) 的1,2-及1,4-加成反应 王岩 曾小兰(2831)
6,12-二乙炔基茚并[1,2-*b*]芴系列衍生物的非线性光学性质 宋洪娟 张梦颖 孙秀欣 孙世玲 仇永清(2839)
ZnSe掺Cu与Zn空位缺陷的稳定性、电子结构与光学性质 郭雷 胡舸 张胜涛(2845)

电化学和新能源

- 基于新型交联聚合物电解质的准固态染料敏化太阳能电池 梁桂杰 钟志成 许杰 张增常 陈美华 李在房 和平 候秋飞(2852)
P3HT修饰一维有序壳核式CdS/ZnO纳米棒阵列复合膜的光电化学性能 孙宝 郝彦忠 郭奋 李英品 罗冲 裴娟 申世刚(2861)
炭气凝胶纳米颗粒固定葡萄糖氧化酶的直接电化学 于志辉 宿婷婷 任翠华 李钒 夏定国 程水源(2867)
静电纺丝法制备的钴酸镍微米带的磁性以及电化学性能 朱福良 赵景新 程永亮 李海宝 阎兴斌(2874)
铂/石墨烯氧还原电催化剂共还原法制备及表征 王万丽 马紫峰(2879)
微米橄榄石型LiFePO₄的水热合成优化 孙孝飞 徐友龙 刘养浩 李璐(2885)
Sn_{0.9}Mg_{0.1}P₂O₇的中温离子导电性 王洪涛 孙林 陈继堂 罗春华(2893)
Li₃V₂(PO₄)₃/C的P123辅助流变相法制备及电化学性能 元志红 马珺 陈星 刘开宇(2898)

催化和表面科学

- 一个与吸附剂浓度有关的Langmuir等温式 赵凌曦 宋淑娥 杜娜 侯万国(2905)

柠檬酸络合法制备质子化层状钙钛矿 $K_{0.5}La_{0.5}Bi_2Ta_2O_9$ 及其光解水制氢性能

..... 陈威 高寒阳 杨俞 林培宾 袁坚 上官文峰 苏佳纯 孙洋洲(2911)
盐酸溶液处理钒酸铋增强可见光催化活性及其机理

..... 龙明策 万磊 曾曾 刘伊依 陈渊源(2917)
 TiO_2 柱撑海泡石负载 Ni_2P 的噻吩加氢脱硫性能

..... 廖辉 徐香兰 谌伟庆 石秋杰 刘文明 王翔(2924)
不同浸润性多孔电极表面的气泡行为 刘萌 郭向飞 王景明 江雷(2931)
表面电荷及外电场对液固界面热阻的影响 葛宋 陈民(2939)

光化学和辐射化学

基于 1,3,5-三嗪的具有力致变色性质的聚集诱导荧光化合物的合成及性能

..... 欧阳密 俞春辉 张玉建 胡彬 吕晓静 孙璟玮 张诚(2944)
香豆素 343 敏化 TiO_2 纳米粒子光致电子转移的荧光和拉曼光谱
..... 蒋礼林 刘伟龙 宋云飞 何兴 王阳 吴红琳 杨延强(2953)

材料物理化学

快速制备高掺杂 CuO/SiO_2 复合气凝胶

..... 许维维 杜艾 唐俊 陈珂 邹丽萍 张志华 沈军 周斌(2958)

《物理化学学报》2012年第28卷1—12期索引 (2965)

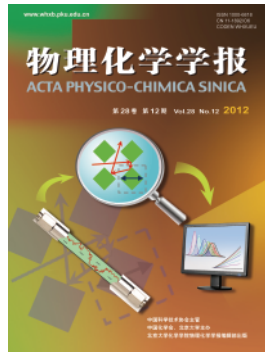
《物理化学学报》征稿简则 (2990)

《物理化学学报》征订启事 (2992)

中国化学会第四届全国热分析动力学与热力学学术会议(第一轮通知) (2766)

本期责任编辑: 熊英

COVER



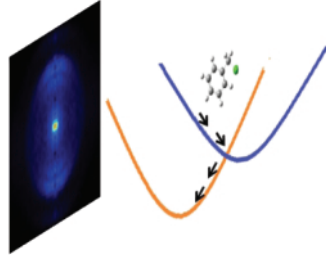
The cover image presents the molecular diffusion trajectories in a packed chromatographic column by means of the random walk simulation. On page 2797, Guo *et al.* demonstrate that the statistical distribution of the molecular diffusion varies with the size of the filling materials.

CONTENTS

THERMODYNAMICS, KINETICS, AND STRUCTURE CHEMISTRY

Ultrafast Internal Conversion Dynamics of Benzyl Chloride by Femtosecond Time-Resolved Photoelectron Imaging

DING Zhong-Hua QIU Xue-Jun
XU Yan-Qi WANG Yan-Mei
ZHANG Bing

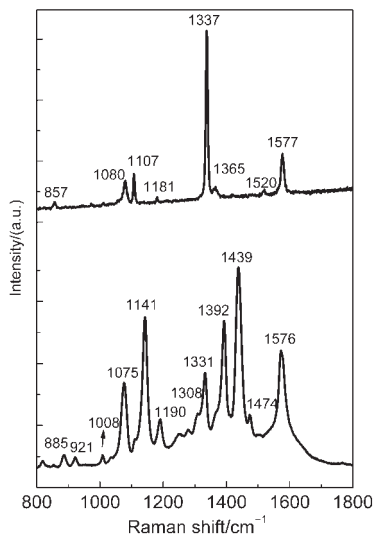


Ultrafast internal conversion in benzyl chloride has been experimentally observed by the time-resolved photoelectron kinetic energy distributions.

Acta Phys. -Chim. Sin. 2012, 28 (12), 2761–2766

Reaction of *p*-Chloronitrobenzene Adsorbed on Silver Nanoparticles

LUO Wen-Li SU Ya-Qiong
TIAN Xiang-Dong ZHAO Liu-Bin
WU De-Yin TIAN Zhong-Qun

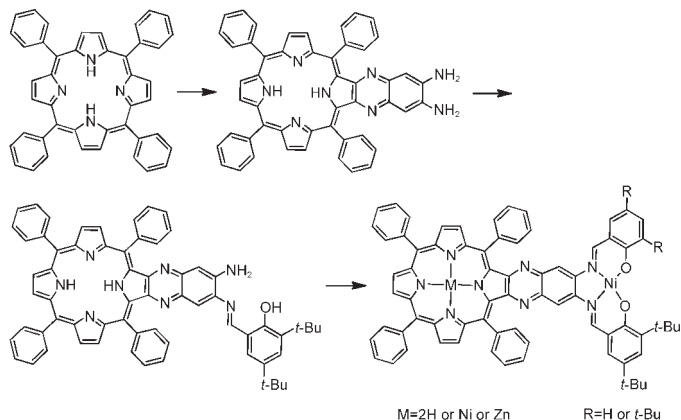


Surface-enhanced Raman spectroscopy and DFT calculations indicate that *p*-chloronitrobenzene can be reduced to *p,p'*-dichloroazobenzene (DCAB) on the surface of silver nanoparticles in alkaline aqueous solution under light irradiation.

Acta Phys. -Chim. Sin. 2012, 28 (12), 2767–2773

Synthesis and Spectral Properties of Salen-Porphyrin Type Homo- and Hetero-Binuclear Complexes with π -Conjugate Configuration

WANG Guan-Yao YAN Wei-Wei
ZHANG Xiao-Hong RUAN Wen-Juan
ZHU Zhi-Ang

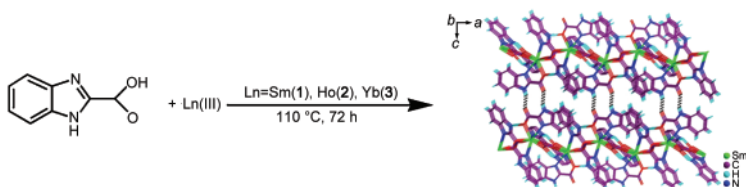


Salen-porphyrin type ligands and their homo-binuclear nickel, hetero-binuclear nickel, zinc complexes with π -conjugate configuration were synthesized and characterized.

Acta Phys. -Chim. Sin. **2012**, *28* (12), 2774–2782

Structures, Thermodecomposition Kinetics and Luminescence Properties of Three Lanthanide-Based Supramolecular Compounds with 1*H*-Benzimidazole-2-carboxylic Acid

DUAN Lin-Qiang QIAO Cheng-Fang
WEI Qing XIA Zheng-Qiang
CHEN San-Ping ZHANG Guo-Chun
ZHOU Chun-Sheng GAO Sheng-Li



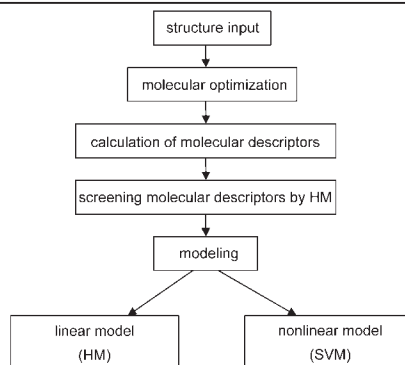
Three lanthanide supramolecular compounds with 1*H*-benzimidazole-2-carboxylic acid were structurally characterized. Thermoanalysis kinetics and luminescence properties were investigated.

Acta Phys. -Chim. Sin. **2012**, *28* (12), 2783–2789

THEORETICAL AND COMPUTATIONAL CHEMISTRY

Prediction of the Thermal Conductivity of Organic Compounds Using Heuristic and Support Vector Machine Methods

SHI Jing-Jie CHEN Li-Ping
CHEN Wang-Hua SHI Ning
YANG Hui XU Wei

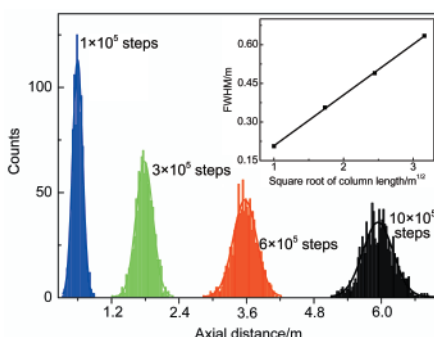


Acta Phys. -Chim. Sin. **2012**, *28* (12), 2790–2796

The quantitative structure–property relationship (QSPR) methodology has been used to develop heuristic and support vector machine prediction models for the thermal conductivity of organic compounds.

Theoretical Simulation on the Chromatographic System Based on the Random Diffusion of the Separating Particles

GUO Yan FU Ying-Qiang
SUN Yin-Lu CHEN Tian-Nan
ZHAO Jian-Wei

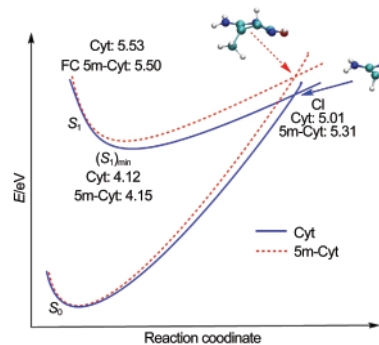


The diffusion process of molecules and their trajectories in a chromatography system is simulated with a random walk scheme.

Acta Phys. -Chim. Sin. **2012**, *28* (12), 2797–2802

Semiclassical Dynamics Simulation and CASSCF Calculation for 5-Methyl Cytosine and Cytosine

YUAN Shuai MA Jing
ZHANG Wen-Ying SHU Kun-Xian
DOU Yu-Sheng

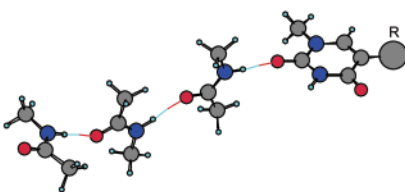


Semiclassical dynamics simulations were applied to study the deactivation of the excited states of 5-methylcytosine and cytosine. CASSCF calculations helped explain why the excited state lifetime of 5-methylcytosine is longer than that of cytosine.

Acta Phys. -Chim. Sin. 2012, 28 (12), 2803–2808

Effect of Substituents on Hydrogen Bond Strength in Hydrogen-Bonded *N*-methylacetamide and Uracil Complexes

LIU Dong-Jia WANG Chang-Sheng

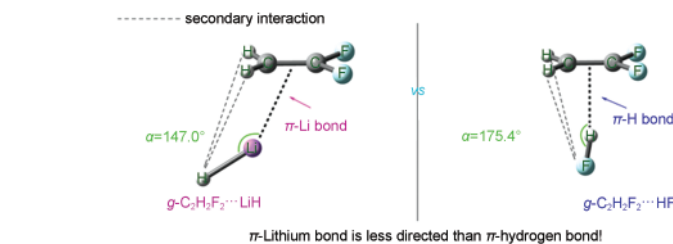


Different substituents in the hydrogen bond acceptor molecule affect the hydrogen bonding strength in *N*-methylacetamide and uracil complexes.

Acta Phys. -Chim. Sin. 2012, 28 (12), 2809–2816

Properties and Weak Directionality of the π -Lithium Bond in $C_2H_{4-n}F_n \cdots LiH$ ($n=0, 1, 2$) Dimers

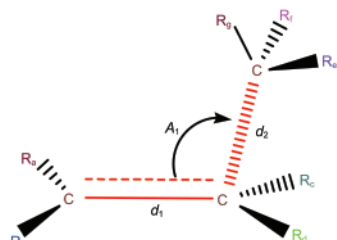
WANG Shu-Jian LI Ying
WU Di



The π -lithium bond is less directed than the π -hydrogen bond. Weak directionality of the π -lithium bond in dimers $C_2H_{4-n}F_n \cdots LiH$ ($n=0, 1, 2$) is exhibited.

Accurate Calculation of the Reaction Barriers and Rate Constants of the Pyrolysis of Alkyl Radicals in the β Position Using the Isodesmic Reaction Method

WANG Bi-Yao TAN Ning-Xin
YAO Qian LI Ze-Rong
LI Xiang-Yuan

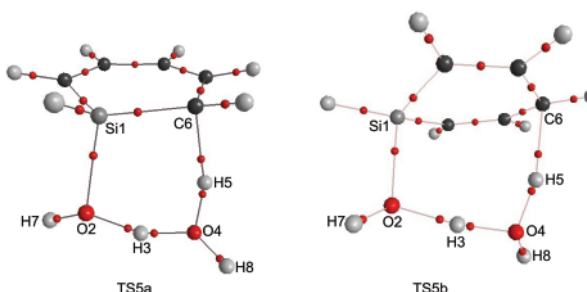


The isodesmic reaction method has been found to be efficient for the calculation of the kinetic parameters for reactions in a class.

Acta Phys. -Chim. Sin. 2012, 28 (12), 2824–2830

1,2- and 1,4-Addition Reactions between Silabzenes and HX (X=F, OH, NH₂)

WANG Yan ZENG Xiao-Lan

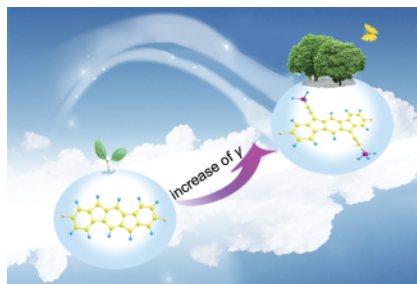


The 1,2- and 1,4-addition reactions of silabzenes with HX (X=F, OH, NH₂) were investigated using density functional theory at the B3LYP/6-311++G(d,p) level.

Acta Phys. -Chim. Sin. 2012, 28 (12), 2831–2838

Nonlinear Optical Properties of a Series of 6,12-Diethynylindeno[1,2-*b*]fluorene Derivatives

SONG Hong-Juan ZHANG Meng-Ying
SUN Xiu-Xin SUN Shi-Ling
QIU Yong-Qing

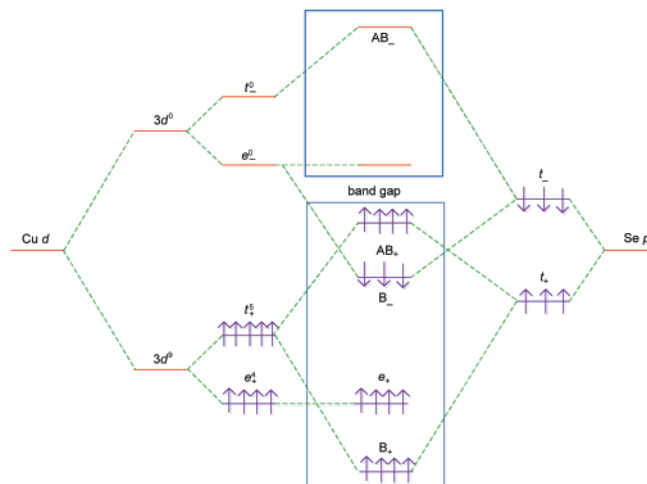


The polarizabilities and static second hyperpolarizabilities of indeno [1,2-*b*]fluorene molecule increase substantially with the introduction of ethynyl silyl.

Acta Phys. -Chim. Sin. 2012, 28 (12), 2839–2844

Defects Energies, Electronic Structure and Optical Properties of Cu-Doping and Zn Vacancy Impurities in ZnSe

GUO Lei HU Ge
ZHANG Sheng-Tao



The *p-d* repulsion effects in the hypothetical ferromagnetic zinc-blende structure CuSe could be conducive to a dramatic reduction in the band gap for ZnSe with Cu impurity.

Acta Phys. -Chim. Sin. 2012, 28 (12), 2845–2851

ELECTROCHEMISTRY AND NEW ENERGY

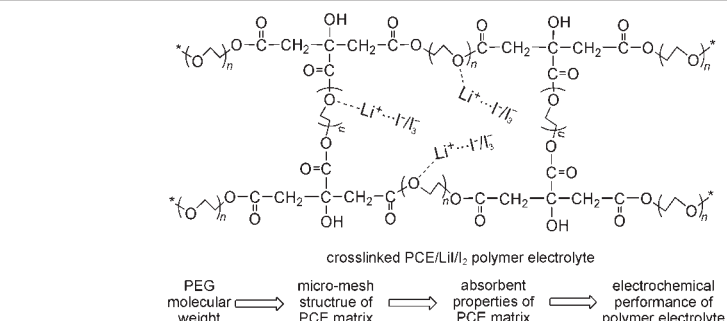
Quasi-Solid State Dye-Sensitized Solar Cells Based on the Novel Crosslinked Polymer Electrolyte

LIANG Gui-Jie ZHONG Zhi-Cheng
XU Jie ZHANG Zeng-Chang
CHEN Mei-Hua LI Zai-Fang
HE Ping HOU Qiu-Fei

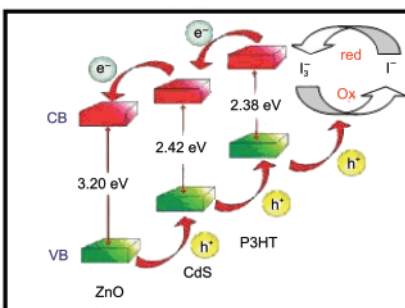
Acta Phys. -Chim. Sin. 2012, 28 (12), 2852–2860

Photoelectrochemical Properties of CdS/ZnO Shell-Core Nanorod Arrays Modified with P3HT

SUN Bao HAO Yan-Zhong
GUO Fen LI Ying-Pin
LUO Chong PEI Juan
SHEN Shi-Gang



Polyethylene glycol (PEG) molecular weight determines poly(citric acid-ethylene glycol) (PCE) structure, and consequently influences liquid absorption and electrochemical properties of the polymer electrolyte.



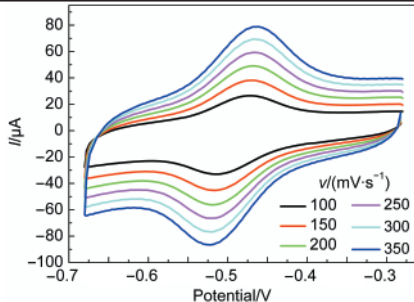
A novel nanostructure based on P3HT-modified CdS/ZnO shell-core nanorod array was designed and used as photoanode for semiconductor-sensitized solar cells.

Acta Phys. -Chim. Sin. 2012, 28 (12), 2861–2866

Direct Electrochemistry and Immobilization of Glucose Oxidase on Nano-Carbon Aerogels

YU Zhi-Hui SU Ting-Ting
REN Cui-Hua LI Fan
XIA Ding-Guo CHENG Shui-Yuan

Acta Phys. -Chim. Sin. 2012, 28 (12), 2867–2873

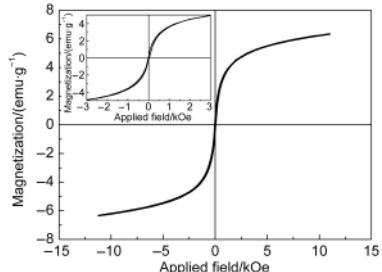
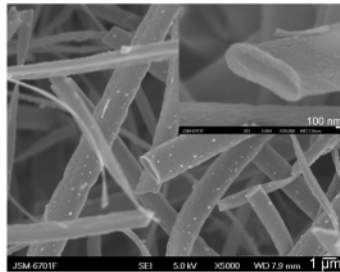


ZrP-CA composites with a large specific surface area and uniform nanopore distributions are an attractive matrix for protein immobilization and exhibit facile direct electrochemistry of glucose oxidase without electron mediators.

Magnetic and Electrochemical Properties of NiCo_2O_4 Microbelts Fabricated by Electrospinning

ZHU Fu-Liang ZHAO Jing-Xin
CHENG Yong-Liang LI Hai-Bao
YAN Xing-Bin

Acta Phys. -Chim. Sin. 2012, 28 (12), 2874–2878

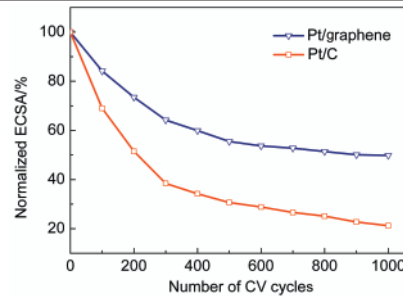


NiCo_2O_4 microbelts have been fabricated by direct annealing of electrospun samples, which exhibit typical superparamagnetic behavior and pseudocapacitive capacitance.

Synthesis and Characteristics of Pt/graphene by Co-Reduction Method for Oxygen Reduction Reactions

WANG Wan-Li MA Zi-Feng

Acta Phys. -Chim. Sin. 2012, 28 (12), 2879–2884

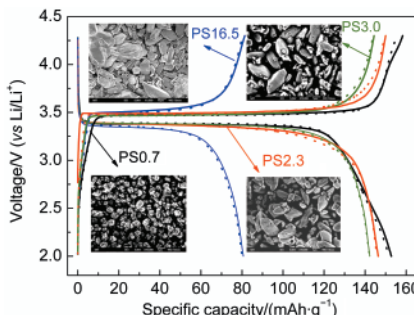


Nano particles of Pt/graphene, formed with strong interparticle interactions, can improve the stability of catalytic activity in both three-electrode systems and proton exchange membrane (PEM) fuel cells.

Optimizing the Hydrothermal Synthesis of Micro-Sized Olivine LiFePO_4

SUN Xiao-Fei XU You-Long
LIU Yang-Hao LI Lu

Acta Phys. -Chim. Sin. 2012, 28 (12), 2885–2892

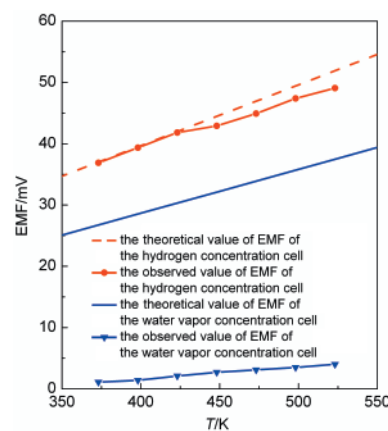


The particle size (PS) of LiFePO_4 increases with decreasing pH value, increasing concentration, temperature, and heating time during hydrothermal synthesis.

Ionic Conduction in $\text{Sn}_{0.9}\text{Mg}_{0.1}\text{P}_2\text{O}_7$ at Intermediate Temperatures

WANG Hong-Tao SUN Lin
CHEN Ji-Tang LUO Chun-Hua

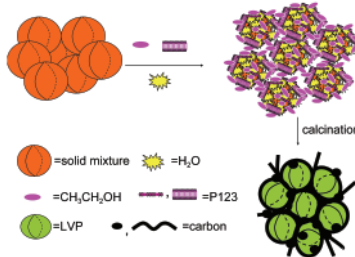
Acta Phys. -Chim. Sin. 2012, 28 (12), 2893–2897



$\text{Sn}_{0.9}\text{Mg}_{0.1}\text{P}_2\text{O}_7$ is an almost pure ionic conductor, and generates a maximum power density of 33.9 $\text{mW}\cdot\text{cm}^{-2}$ at 448 K.

**P123-Assisted Rheological Phase Reaction
Synthesis and Electrochemical Performance
of Li₃V₂(PO₄)₃/C Cathode**

YUAN Zhi-Hong MA Jun
CHEN Xing LIU Kai-Yu



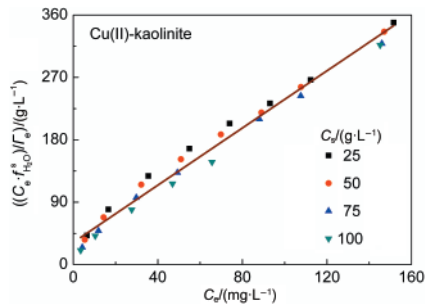
Acta Phys. -Chim. Sin. **2012**, *28* (12), 2898–2904

A monoclinic Li₃V₂(PO₄)₃/C cathode has been synthesized for use in lithium ion battery applications, *via* a P123-assisted rheological phase reaction (RPR) method. P123 acts as a surfactant as well as an organic carbon source, and forms a carbon network in the particle surface which helps to improve the material conductivity rate, and reduce the charge transfer resistance and electrode polarity effects during the charge-discharge process.

CATALYSIS AND SURFACE SCIENCE

**A Sorbent Concentration-Dependent
Langmuir Isotherm**

ZHAO Ling-Xi SONG Shu-E
DU Na HOU Wan-Guo

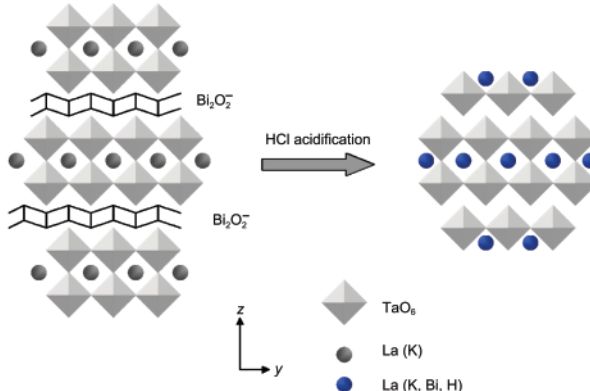


A sorbent concentration (C_s)-dependent Langmuir isotherm was derived based on the surface component activity (SCA) model, and can adequately describe the C_s -effect.

Acta Phys. -Chim. Sin. **2012**, *28* (12), 2905–2910

**Polymerizable Complex Synthesis of
Protonated Form of Layered Perovskite
K_{0.5}La_{0.5}Bi₂Ta₂O₉ for Water Splitting
into Hydrogen**

CHEN Wei GAO Han-Yang
YANG Yu LIN Pei-Bin
YUAN Jian SHANGGUAN Wen-Feng
SU Jia-Chun SUN Yang-Zhou



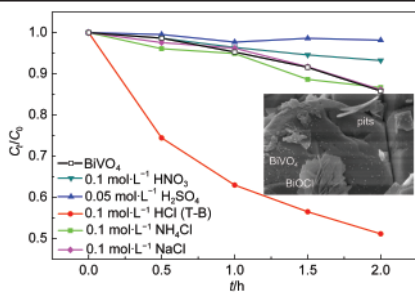
The protonated layered perovskite oxide H_{1.9}K_{0.3}La_{0.5}Bi_{0.1}Ta₂O₇ (HKLBT) was prepared from K_{0.5}La_{0.5}Bi₂Ta₂O₉ (KLBT) at lower temperatures than required for a solid state reaction. HKLBT prepared from KLBT calcined at 900 °C demonstrated the highest photocatalytic activity for water splitting and this material also exhibited excellent stability.

Acta Phys. -Chim. Sin. **2012**, *28* (12), 2911–2916

Enhanced Visible Light Activity of BiVO₄ by Treating in HCl Aqueous Solution and Its Mechanism

LONG Ming-Ce WAN Lei
ZENG Ceng LIU Yi-Yi
CHEN Yuan-Yuan

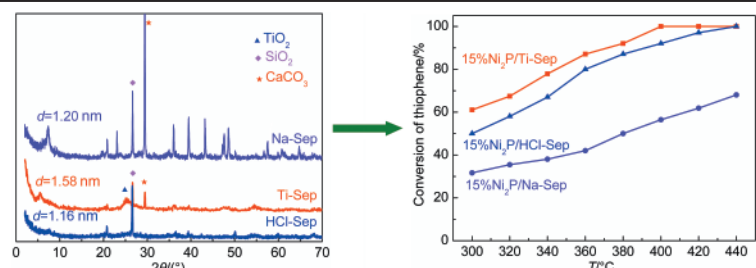
Acta Phys. -Chim. Sin. 2012, 28 (12), 2917–2923



Enhanced photocatalytic activity of BiVO₄ was achieved by immersing in an HCl aqueous solution. The improvement can be attributed to surface pits caused by etching of BiVO₄, and the generation of BiOCl.

Ni₂P Catalysts Supported on TiO₂-Pillared Sepiolite for Thiophene Hydrodesulfurization

LIAO Hui XU Xiang-Lan
CHEN Wei-Qing SHI Qiu-Jie
LIU Wen-Ming WANG Xiang

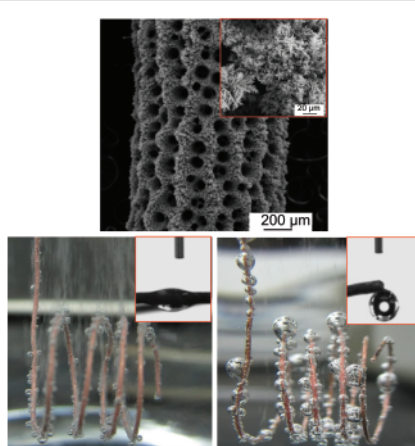


TiO₂-pillaring increases the layer spacing, surface area, and thermal stability of sepiolite, thus resulting in Ni₂P/Ti-Sep catalysts with significantly improved activity.

Acta Phys. -Chim. Sin. 2012, 28 (12), 2924–2930

Behavior of Bubbles on Electrodes with Hierarchical Microporous Structures and Different Wettability

LIU Meng GUO Xiang-Fei
WANG Jing-Ming JIANG Lei

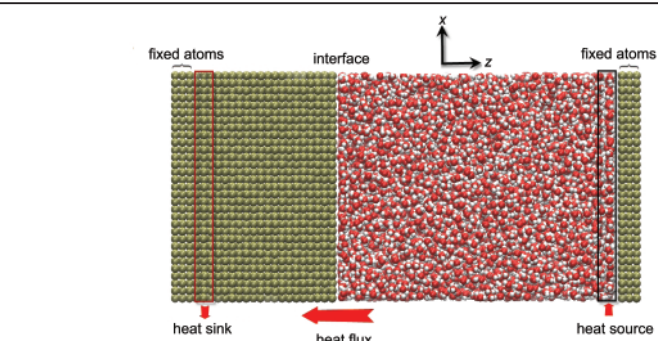


Hydrophilic porous electrodes produce bubbles faster than hydrophobic porous electrodes, while hydrophobic porous electrodes adsorb more bubbles than hydrophilic porous electrodes.

Acta Phys. -Chim. Sin. 2012, 28 (12), 2931–2938

Effects of Surface Charge and Electric Field on the Interfacial Thermal Resistance at Liquid/Solid Interfaces

GE Song CHEN Min



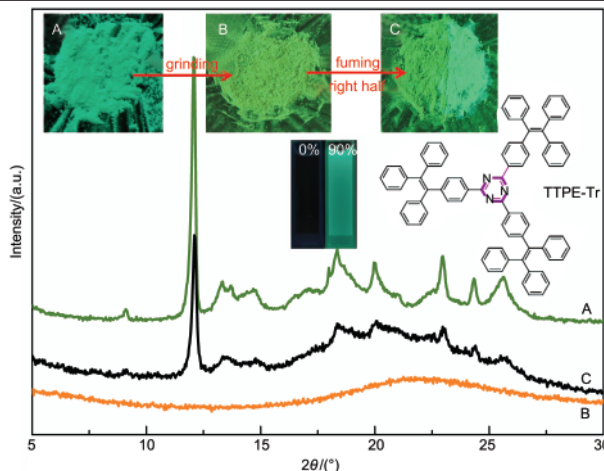
Applying external electric fields or surface charges can effectively reduce the interfacial thermal resistance at solid/liquid interfaces.

Acta Phys. -Chim. Sin. 2012, 28 (12), 2939–2943

PHOTOCHEMISTRY AND RADIATION CHEMISTRY

**Synthesis and Characterization of New
1,3,5-Triazine-Based Compounds Exhibiting
Aggregation-Induced Emission and
Mechanochromism**

OUYANG Mi YU Chun-Hui
ZHANG Yu-Jian HU Bin
LÜ Xiao-Jing SUN Jing-Wei
ZHANG Cheng

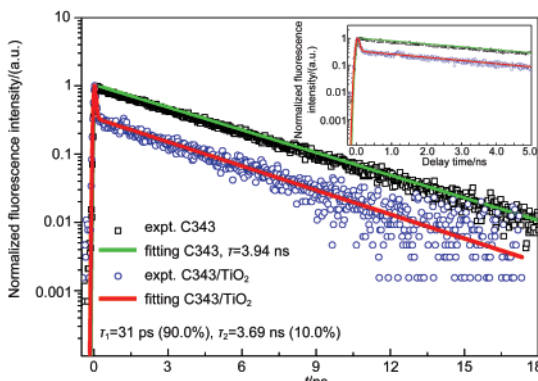


The compound TTPE-Tr, based on 1,3,5-triazine and TPE, was synthesized and characterized. This dye exhibited aggregation-induced emission and mechano-fluorochromic behavior.

Acta Phys. -Chim. Sin. **2012**, *28* (12), 2944–2952

**Fluorescence and Raman Spectroscopic
Characteristics of the Photo-Induced
Electron Transfer of Coumarin 343
Dye-Sensitized TiO₂ Nanoparticles**

JIANG Li-Lin LIU Wei-Long
SONG Yun-Fei HE Xing
WANG Yang WU Hong-Lin
YANG Yan-Qiang

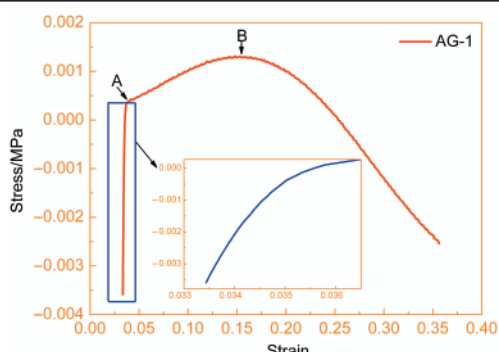


Back electron transfer of coumarin 343 dye-sensitized TiO₂ nanoparticles was investigated by time resolved fluorescence spectroscopy and takes place in around $\tau_1=31$ ps.

PHYSICAL CHEMISTRY OF MATERIALS

**Rapid Preparation of Highly Doped
CuO/SiO₂ Composite Aerogels**

XU Wei-Wei DU Ai
TANG Jun CHEN Ke
ZOU Li-Ping ZHANG Zhi-Hua
SHEN Jun ZHOU Bin



CuO/SiO₂ composite aerogels, prepared via a propylene oxide pre-reaction method, feature good formability and uniform dispersion.

Acta Phys. -Chim. Sin. **2012**, *28* (12), 2958–2964

《物理化学学报》编辑委员会 The Editorial Committee of Acta Physico-Chimica Sinica

顾问(Advisory Board)

韩德刚 HAN De-Gang	黎乐民 LI Le-Min	彭少逸 PENG Shao-Yi	吴国是 WU Guo-Shi
江龙 JIANG Long	梁敬魁 LIANG Jing-Kui	田昭武 TIAN Zhao-Wu	张存浩 ZHANG Cun-Hao
江元生 JIANG Yuan-Sheng	刘若庄 LIU Ruo-Zhuang		

主任(Editor-in-Chief)

唐有祺 TANG You-Qi

常务副主任(Executive Associate Editor-in-Chief)

赵新生 ZHAO Xin-Sheng

副主任(Associate Editor-in-Chief)

包信和 BAO Xin-He	孙世刚 SUN Shi-Gang	吴云东 WU Yun-Dong
郭 荣 GUO Rong	吴 凯 WU Kai	姚建年 YAO Jian-Nian

委员(Members of the Executive Committee)

陈经广 CHEN Jing-Guang	侯建国 HOU Jian-Guo	刘述斌 LIU Shu-Bin	许国勤 XU Guo-Qin
陈 晓 CHEN Xiao	黄建滨 HUANG Jian-Bin	刘文剑 LIU Wen-Jian	徐 昕 XU Xin
陈 政 CHEN Zheng	黄 维 HUANG Wei	刘忠范 LIU Zhong-Fan	薛其坤 XUE Qi-Kun
戴海龙 DAI Hai-Lung	来鲁华 LAI Lu-Hua	庞代文 PANG Dai-Wen	杨金龙 YANG Jin-Long
段 雪 DUAN Xue	李浩然 LI Hao-Ran	帅志刚 SHUAI Zhi-Gang	杨俊林 YANG Jun-Lin
方维海 FANG Wei-Hai	黎书华 LI Shu-Hua	苏成勇 SU Cheng-Yong	杨伟涛 YANG Wei-Tao
房 喻 FANG Yu	李象远 LI Xiang-Yuan	万立骏 WAN Li-Jun	尉志武 YU Zhi-Wu
付贤智 FU Xian-Zhi	李晓原 LI Xiao-Yuan	王 野 WANG Ye	张建平 ZHANG Jian-Ping
关乃佳 GUAN Nai-Jia	刘刚玉 LIU Gang-Yu	王振纲 WANG Zhen-Gang	张金中 ZHANG Jin-Zhong
韩布兴 HAN Bu-Xing	刘 俊 LIU Jun	夏春谷 XIA Chun-Gu	郑兰荪 ZHENG Lan-Sun
韩克利 HAN Ke-Li	刘鸣华 LIU Ming-Hua	夏兴华 XIA Xing-Hua	周鸣飞 ZHOU Ming-Fei
贺鹤勇 HE He-Yong	刘世林 LIU Shi-Lin	谢晓亮 XIE Xiao-Liang	朱永法 ZHU Yong-Fa

编辑部成员

黄 路 欧阳贱华 王 琢 熊 英 於秀芝 周 虹

物理化学学报 (WULI HUAXUE XUEBAO) 第 28 卷第 12 期 (2012. 12)
ACTA PHYSICO-CHIMICA SINICA, Vol.28, No.12 (December, 2012)

月刊(1985年创刊)
Monthly (First volume appeared in 1985)

编辑出版者	北京大学化学与分子工程学院 《物理化学学报》编辑部	Editor and Publisher: Editorial Board of Acta Physico-Chimica Sinica
地 址	北京大学化学楼(邮政编码 100871)	(Wuli Huaxue Xuebao)
电 话	+86-10-62751724, +86-10-62756388	Address: Chemistry Building
传 真	+86-10-62756388	Peking University
主 编	唐有祺	Beijing 100871, P. R. China
主 管 单 位	中国科学技术协会	Tel: +86-10-62751724, +86-10-62756388
印 刷 者	北京科信印刷有限公司	Fax: +86-10-62756388
国 内 总 发 行	北京报刊发行局	Chief Editor: TANG You-Qi
国 内 订 购	全国各邮局	Printer: Beijing Kexin Printing CO., LTD
国 外 发 行	中国国际图书贸易总公司 Code No 1443-MO	Distributor: China International Book Trading Corporation (Code No 1443-MO)
Email:	whxb@pku.edu.cn	Website: http://www.whxb.pku.edu.cn

定价: 35.00 元

2012 年 12 月 15 日出版

国内邮发代号: 82-163



不同浸润性多孔电极表面的气泡行为

刘萌¹ 郭向飞¹ 王景明^{1,*} 江雷^{1,2}

(¹北京航空航天大学化学与环境学院, 北京 100191; ²中国科学院化学研究所, 北京分子科学国家实验室, 北京 100190)

摘要: 采用氢气模板法制备了具有多孔结构的电极; 通过改变电镀电流密度和电镀时间实现了电极表面多孔结构孔径和分布的控制; 通过改变表面化学组成有效调控了电极表面的浸润性质。比较了具有不同微观结构和表面化学组成的电极在给定条件下电解水过程中气泡的产生及行为机制。实验结果表明: 相对于亲水的多孔电极, 疏水的多孔电极表面能够黏附气泡, 更易倾向于形成稳定的气膜; 多孔结构对于亲水电极表面气泡行为的影响比对疏水电极表面气泡行为的影响更为显著; 与没有多孔结构的亲水电极相比, 具有多孔结构的亲水电极表面产生的气泡数量多, 速率快; 与较小孔径的多孔亲水电极相比, 较大孔径的多孔亲水电极表面产生气泡速率快且黏附气泡数量少。该研究结果为微气泡减阻电极的设计提供了理论依据。

关键词: 多孔结构; 疏水; 电解; 黏附; 气泡; 减阻

中图分类号: O647

Behavior of Bubbles on Electrodes with Hierarchical Microporous Structures and Different Wettability

LIU Meng¹ GUO Xiang-Fei¹ WANG Jing-Ming^{1,*} JIANG Lei^{1,2}

(¹School of Chemistry and Environment, Beihang University, Beijing 100191, P. R. China; ²Beijing National Laboratory for Molecular Science, Institute of Chemistry, Chinese Academy of Sciences, Beijing 100190, P. R. China)

Abstract: We have prepared copper electrodes by the hierarchical micropore hydrogen template method. By changing the plating current density and plating time, we can effectively control the size and distribution of the micropores. In addition, we altered the surface chemical composition to obtain electrodes with different wettability. The production and behavior of bubbles on the electrodes with different microstructures and wettability during the process of water electrolysis was investigated. The experimental results indicated that, compared with the hydrophilic porous electrode, the bubbles were able to pin onto the hydrophobic electrode more easily, and they tended to coalesce to form a stable gas film. The effect of the porous structure on the behavior of bubbles was more significant for hydrophilic electrodes than hydrophobic electrodes. The electrodes with hierarchical microporous structures preferred to produce more bubbles than those without microporous structures. The production rate of bubbles on the electrodes with hierarchical microporous structure was faster than that on the electrodes without. Furthermore, porous hydrophilic electrodes with large pore sizes could generate bubbles faster and pin smaller bubbles than electrodes with small pore sizes. We believe that these results can provide theoretical proof for the design of the electrodes with attached micro-bubbles to reduce drag resistance.

Key Words: Porous structure; Hydrophobicity; Electrolysis; Pin; Bubble; Drag reduction

Received: June 8, 2012; Revised: September 6, 2012; Published on Web: September 26, 2012.

*Corresponding author. Email: wangjm@buaa.edu.cn; Tel: +86-10-82316066; Fax: +86-10-82316066.

The project was supported by the National Natural Science Foundation of China (20901006).

国家自然科学基金(20901006)资助项目

1 引言

随着能源短缺的日益严峻,减少能源使用过程中的耗损,尤其是制备减阻材料,已成为人们关注的焦点。减阻材料减阻方式的选择也因阻力而异,通常流体中的阻力主要来源于流体与物体之间的黏附力。根据改变流体与物体的相互作用方法的不同,减阻方法分为肋条减阻,¹⁻³ 微气泡减阻⁴⁻⁸和仿生减阻,⁹⁻¹¹ 聚合物减阻¹²⁻¹⁵等。其中,微气泡减阻是一种简单且容易实现的方式之一,其原理是通过使用特殊的方法(电解、喷气等)将微气泡引入运动物体(船体、鱼雷、潜艇等)的流动层边界内,形成微气泡与水的混合介质,减小运动物体与流体之间的摩擦阻力。1973年McCormick¹⁶用电解方法产生氢气泡进行减阻试验,发现保持其它参数固定不变时,电流越高(产生较多气泡)减阻效果越明显,产生的最大减阻效果为50%。1984年, Madavan及其合作者¹⁷用多孔板喷射气体形成微气泡的实验方法,研究微气泡对降低平板表面摩阻的作用,取得了许多极富价值的成果,发现通过上述方法可以将局部摩阻降低80%。由此可见,微气泡减阻能够有效降低运动物体与流体之间的摩擦阻力,减少能源的耗损,对潜艇、鱼雷等水下航行器具有良好的应用前景。

由于微气泡减阻材料需要在其表面形成一层气膜,因此气泡与界面之间的相互作用在减阻过程中就起关键作用。研究表明,界面的化学组成和微观结构能显著影响水相中气泡与界面的相互作用。¹⁸例如,具有微米乳突和纳米褶皱复合结构的新鲜和人造玫瑰花表面对气泡有很好的黏附作用,随着乳突分布状态的变化,气泡与界面间的黏附力也会发生显著的变化;¹⁹而具有微米乳突和纳米蜡质结晶的荷叶表面,气泡在其表面会发生破裂,而且随着多级结构的长度、宽度、间距变化,气泡破裂的时间也会发生相应改变。²⁰乙醇清洗过的疏水基底表面有助于气泡的产生,而表面活性剂的基底表面产生的气泡会变小。²¹由此可见,深入研究界面化学组成和微观结构对于界面上气泡行为机制的影响,是构筑微气泡减阻界面的前提条件和理论基础。本实验采用氢模板法构造多孔电极,并在多孔电极表面修饰低表面能物质,观察电解水过程中不同电极表面的气泡行为。

2 实验部分

2.1 试剂与仪器

铜漆包线(直径0.62 mm, 湖北亿立铜业有限责任公司);无水硫酸铜(99.5%, 汕头市西陇化工有限公司);硫酸(98.0%, 北京化工厂);氟硅烷FAS-17($\text{CF}_3\text{-}(\text{CF}_2)\text{-CH}_2\text{CH}_2\text{-Si(OCH}_3)_3$) (日本信越化学工业株式会社(Shin-Etsu Chemical Co., Ltd.));无水乙醇(99.9%, 北京化工厂)。

S-4300N型扫描电子显微镜(SEM, 日本HITACHI公司);OCA20型接触角测量仪(德国Dataphysics公司);Canon IXUS 115 HS数码相机(Canon中国公司)。

2.2 实验过程

2.2.1 多孔结构电极的制备及表征

(1) 将铜丝进行除漆,除油。(2)电镀的电解液选取1.5 mol·L⁻¹的硫酸溶液和0.2 mol·L⁻¹的硫酸铜溶液。(3)在不同的实验条件下对铜丝进行电镀:恒定电流密度J,改变电镀时间t,电流密度控制在0.3 A·cm⁻²,电镀时间分别为15、30、45、60、90 s;恒定电镀时间t,改变电流密度J,电镀时间选为40 s,电流密度分别为0.3、0.6、0.9、1.2 A·cm⁻²。(4)利用SEM观察制备的多孔电极表面的形貌。

2.2.2 低表面能物质在电极表面的修饰及表征

(1)将电极浸泡在无水乙醇中,放置几十秒后,取出,干燥并放入真空干燥器中,同时在真空干燥器中滴入一滴氟硅烷,抽真空。干燥器保持在真空的条件下放置10 h以上,让氟硅烷接枝到电极的表面。(2)对修饰氟硅烷的电极进行接触角表征。

2.2.3 不同浸润性和多孔结构电极的电解水行为

在电解电压E=1.6 V下电解20 s,用相机记录不同电极表面的气泡变化过程并观察电极表面的气泡行为。

3 结果与讨论

3.1 多孔结构电极的制备及形貌控制

3.1.1 多孔电极的形貌及制备原理

通过电镀法(氢气模板法)在铜丝表面制备的多孔结构如图1所示。从图中可以看出,多孔铜层是由许多大小不等的孔组成的,孔与孔相互连接,如图1(a)所示。每一个孔的孔壁由许多的枝状结构组成,如图1(b)所示,每一个枝状结构由许多的纳米粒子堆砌而成,如图1(c)所示,纳米粒子之间存在许多缝隙。

在电镀过程中,阴极上存在铜离子及氢离子的竞争还原,考虑到两种离子不同的还原电势以及氢

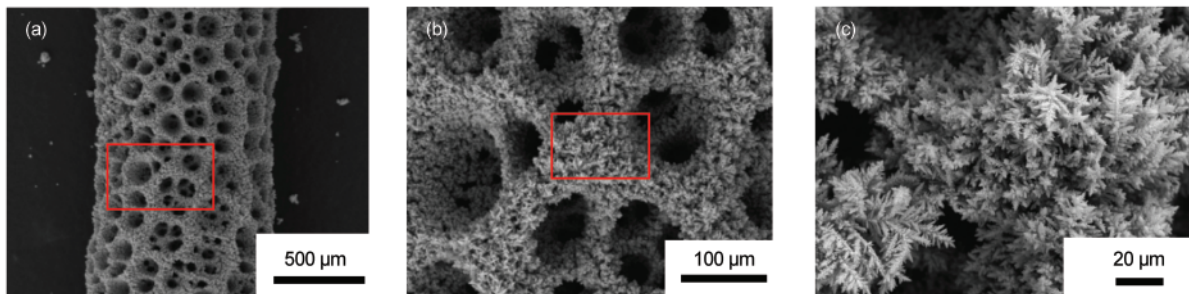


图1 不同放大倍数下铜丝表面多孔铜层形貌扫描电镜(SEM)图

Fig.1 Scanning electron microscopy (SEM) images of the copper with hierarchical micropore structure at different magnifications

的过电位等因素,可以通过控制硫酸铜与硫酸的比例,控制两种离子被还原的比例。当硫酸铜的浓度减小时,镀层厚度将随之减小,导致镀层的机械性能降低;当硫酸铜浓度过高时,过高的硫酸铜只能加快铜沉积的速率,对多孔结构的孔径和镀层的厚度几乎没有影响。而硫酸的浓度过小则会导致多孔结构的不均匀生长;硫酸的浓度过高对多孔结构的孔径和镀层的厚度影响也不大。因而根据文献²²建议的浓度范围,我们将电解液的配比控制为1.5 mol·L⁻¹的硫酸溶液+0.2 mol·L⁻¹的硫酸铜溶液。电镀过程如图2所示。

整个阴极离子还原过程主要分为三个阶段:第一个阶段是在光滑铜丝的表面覆盖了一层高密度的粗糙铜层,这一个阶段主要是铜离子的还原。第二个阶段是铜离子和氢离子的竞争还原。在该还原过程中,最初形成的粗糙铜层表面会有气泡产生,刚产生的气泡体积较小,不会立刻冒出,而是黏附在电极的表面。黏附在电极表面的气泡占据了电极表面的许多空间,铜离子只能在氢气泡的周围还原。随着电镀时间的延长,气泡慢慢地合并长大,当体积足够大的时候,气泡就会脱离电极表面,从镀层中离开,这样就在铜层中形成了许多相通的枝状结构,形成多孔的铜层。第三个阶段主要是氢离子

的还原。由于阴极周围的铜离子快速耗尽,加上氢气的不断析出又中断了铜离子从电解液到阴极的扩散,使得铜离子还原受阻,因此铜层不会再继续长厚,而是保持在一定的厚度。²³

3.1.2 多孔电极形貌影响因素分析

由于多孔电极表面孔的形貌、大小、分布是电极结构特征中三个最重要的参数。对于电镀法制备的多孔结构,电镀时间和电镀电流对上述表面性质起决定性作用。因此,我们进一步研究了电镀时间和电镀电流对多孔电极表面形貌的影响。

3.1.2.1 电镀时间

图3和图4为给定电镀电流密度 $J=0.3\text{ A}\cdot\text{cm}^{-2}$ 时,不同的电镀时间下,铜丝电极的SEM照片以及多孔电极直径和电极表面孔径随电镀时间的变化关系图。由图可知,当电流恒定时,随着电镀时间的增加,电极的直径急剧增加,电镀层不断增厚,且电极表面多孔结构的孔径有增大的趋势。具体而言,当电镀时间由15 s逐步增加至90 s时,电极的直径由770 μm增加至1070 μm,电极表面多孔结构的孔径由22.97 μm增加至95.07 μm。因此,可以在恒定的电流下通过控制电镀时间,调控多孔结构中平均孔径的大小。

3.1.2.2 电镀电流

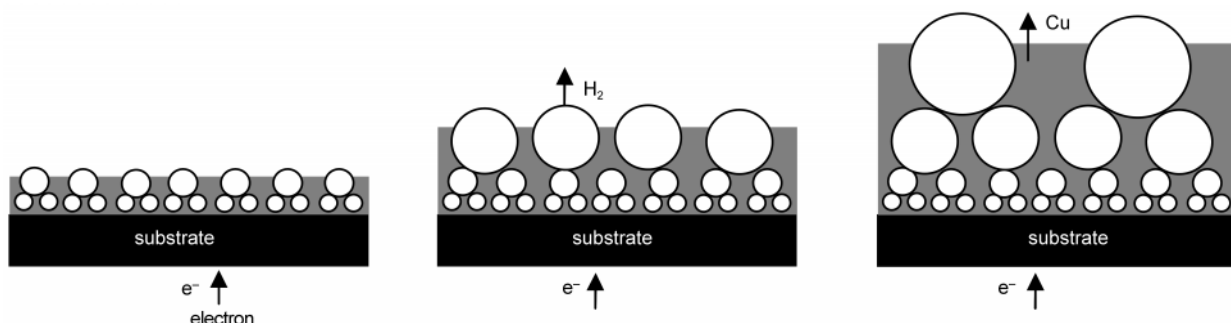


图2 多孔电极的制备过程示意图

Fig.2 Schematic diagram of the preparation of porous electrode

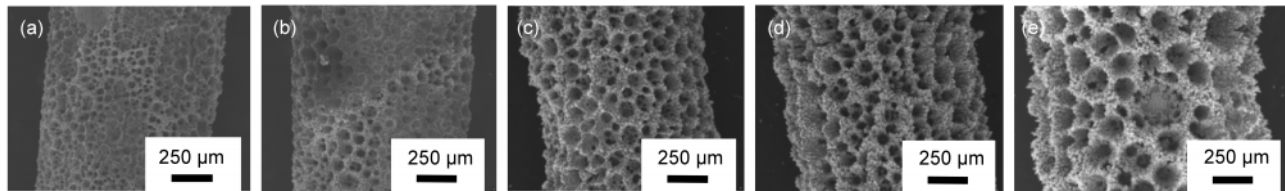


图3 不同电镀时间(t)下的多孔铜电极表面SEM图

Fig.3 SEM images of the copper electrode with hierarchical micropore structure at different plating time (t)

t/s : (a) 15, (b) 30, (c) 45, (d) 60, (e) 90; plating current density (J): $0.3 \text{ A} \cdot \text{cm}^{-2}$

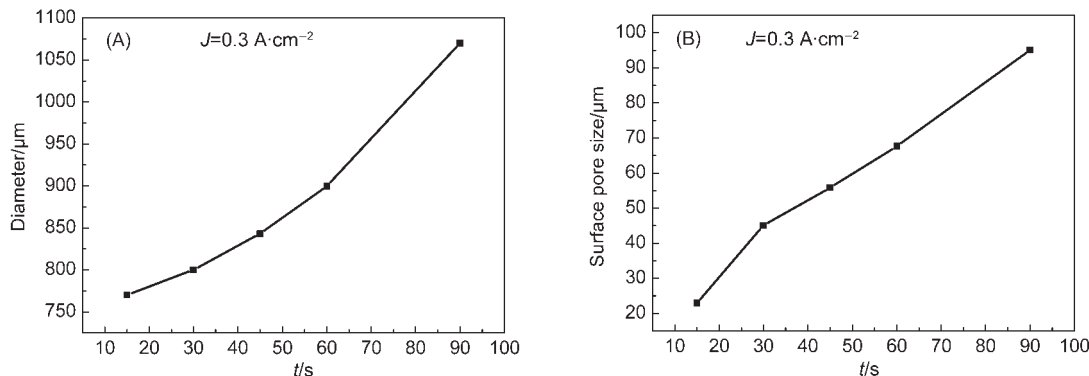


图4 多孔电极直径(A)/电极表面孔径(B)与电镀时间的关系曲线

Fig.4 Relation curves between the diameter of the copper electrode (A)/surface pore size (B) and the plating time

图5和图6分别为给定电镀时间 $t=40 \text{ s}$ 时, 不同的电镀电流密度下, 铜丝电极的SEM照片以及多孔电极的直径和电极表面孔径随电镀电流密度的变

化关系图。由图可知, 在相同的电镀时间下, 随着电镀电流密度的增加, 镀层的厚度增加, 电极表面多孔结构的孔径也不断增加。在电流密度较小的时

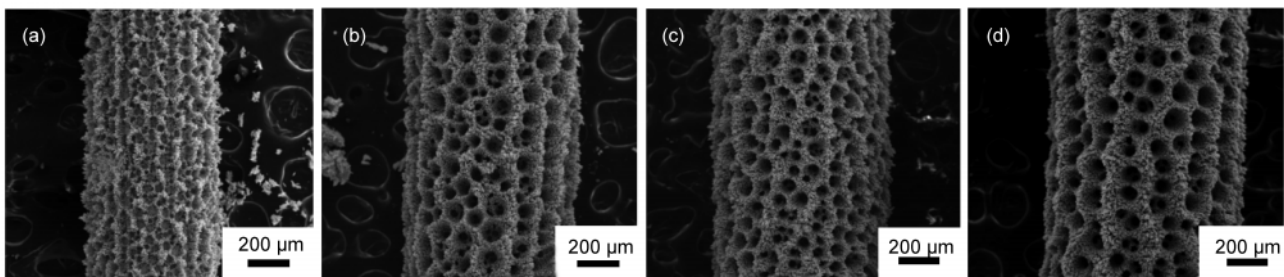


图5 不同电镀电流密度下的多孔电极表面SEM图

Fig.5 Surface SEM images of the copper electrode with hierarchical micropore structure at different plating current densities

$J/(\text{A} \cdot \text{cm}^{-2})$: (a) 0.3, (b) 0.6, (c) 0.9, (d) 1.2; $t=40 \text{ s}$

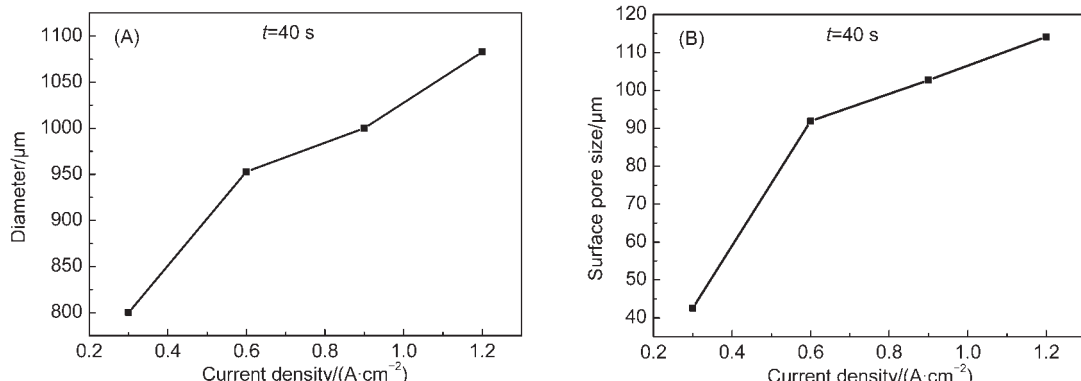


图6 多孔电极直径(A)/电极表面孔径(B)与电镀电流密度的关系曲线

Fig.6 Relation curves between the diameter of the copper electrode (A)/surface pore size (B) and the plating current density

候, 镀层厚度随电流密度的变化较大, 电极表面多孔结构孔径增大较明显。随着电流密度的不断增大, 镀层厚度和电极表面多孔结构孔径随电流密度的增加趋势放缓, 铜沉积的效率降低。这是因为当电镀电流密度较高时, 电解液中的 Cu^{2+} 从富集区传递到阴极表面的速度比铜沉积的速度要小, 导致阴极表面附近的 Cu^{2+} 不足, 铜沉积的效率就降低。

综上所述, 随着电镀时间和电镀电流密度的增加, 铜层厚度增加, 孔径也会增大。同时随着孔径的变大, 孔径附近的枝状结构也大量增加。因此, 可以通过改变电镀时间和电镀电流密度来调控多孔结构中平均孔径的大小。

3.2 多孔结构电极的浸润性研究

由于界面的化学组成和微观结构能显著影响水相中气泡与界面的相互作用,¹⁸⁻²¹ 因此我们研究了不同界面化学组成和微观结构对多孔结构电极浸润性质的影响。通过在构造的粗糙表面上修饰低表面能物质改变组成,²⁴⁻²⁷ 即在多孔电极表面修饰低表面能物质氟硅烷。经氟硅烷修饰前后的多孔电极表面的浸润性变化如图7所示。当多孔电极表面未修饰氟硅烷时, 起初随着电镀电流密度的不断增加(由 $0.3\text{--}0.9\text{ A}\cdot\text{cm}^{-2}$)所得多孔结构的接触角大致相同, 均为 45° 左右, 说明多孔电极具有一定的亲水性。进一步增加电镀电流密度至 $1.2\text{ A}\cdot\text{cm}^{-2}$ 所得多孔电极的接触角降低至 22° , 显示出了较好的亲水效果。这是由于铜的表面能较高, 光滑的铜表面与水滴的接触角约为 80° 。当铜丝表面具有多孔结构后, 表面变得粗糙, 水滴更容易浸入到多孔结构中, 表现出

Wenzel状态, 接触角较光滑的铜丝表面有所降低, 表现出更好的亲水性。随着电镀电流的增加, 多孔结构的厚度及电极表面的孔径增加, 铜丝表面变得更加粗糙, 接触角降低更为明显。因此, 当亲水多孔电极浸入水中时, 亲水电极由于其表面多孔结构产生的毛细力的作用, 容易被水浸湿, 此时将伴随着单位面积的气-固表面消失, 以及单位面积的液-固界面产生, 该变化过程电极界面自由能减小。

当电镀电流密度为 0.3 和 $0.6\text{ A}\cdot\text{cm}^{-2}$ 时得到的电极经氟硅烷处理后, 其接触角分别为 144° 和 167° 。当电镀电流密度为 0.9 和 $1.2\text{ A}\cdot\text{cm}^{-2}$ 时得到的电极经氟硅烷处理后, 水滴很难黏附在电极表面, 接触角均大于 170° , 具有超疏水低黏附的性质。电镀电流密度为 0.3 和 $0.6\text{ A}\cdot\text{cm}^{-2}$ 时得到的电极不仅疏水性很强, 而且对水滴具有黏附效应, 这是因为在电流密度较低时, 所得的电极表面的多孔结构孔径较小, 镀层较薄, 多孔结构内部诱捕空气量较少, 且由于毛细力的作用, 水滴会部分浸入到多孔结构中, 与电极呈现Wenzel-Cassie的复合接触状态, 因此电极不仅具有较好的疏水性还具有较大的黏附力; 随着电流密度的增大(0.9 、 $1.2\text{ A}\cdot\text{cm}^{-2}$), 电极表面多孔结构的孔径不断增加, 镀层不断增厚, 多孔结构内部诱捕空气量大幅增加, 水滴不会浸入到多孔结构中, 与电极呈现Cassie接触状态, 水滴在电极表面呈现超疏水低黏附的状态。当疏水电极浸入水中时, 如果疏水电极处于高黏附的状态, 由于此时多孔结构内部诱捕空气量较少, 加上毛细力的作用, 电极界面自由能将有所降低, 水滴会部分浸入

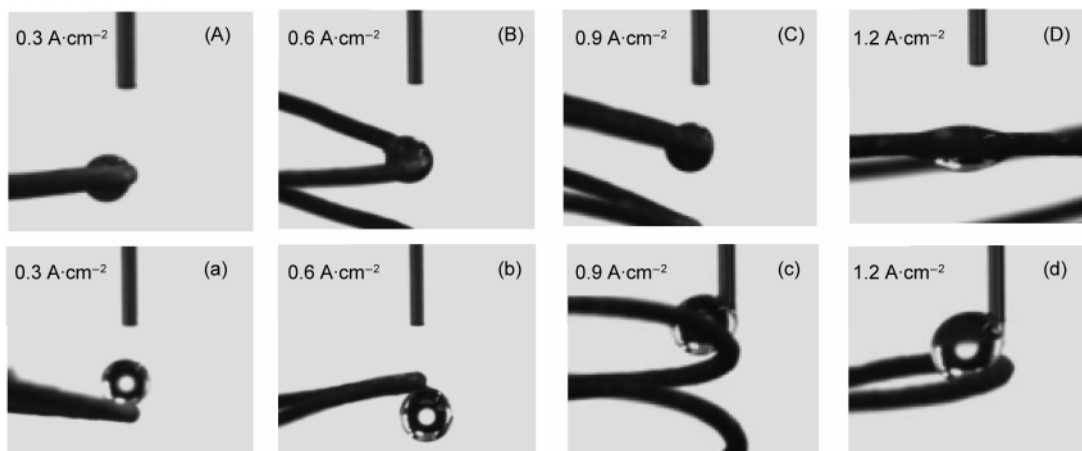


图7 不同电镀电流密度下的多孔电极在氟硅烷修饰前(A-D)后(a-d)的接触角

Fig.7 Contact angles of copper electrode with hierarchical micropore structure before (A-D) and after (a-d) modified with the fluorine silane at different plating current densities

$t=40\text{ s}$

到多孔结构中; 如果疏水电极处于低黏附的状态时, 由于其表面多孔结构中诱捕的空气不容易被水浸湿, 所以该变化过程电极界面自由能基本保持不变。

3.3 电极的浸润性和多孔结构对电解水性能的影响

3.3.1 电极表面浸润性对电解性质影响的研究

图8是电解水过程中结构相同但浸润性不同的电极表面的氢气泡行为。由图8可知, 在电解电压 $E=1.6$ V时电解20 s, 亲水电极产生的气泡只有少部分黏附在电极表面, 大部分都直接从电极冒出; 疏水电极上产生的气泡大部分黏附在电极的表面, 且气泡容易合并, 在疏水电极表面形成连续或准连续的气膜, 随着气体的不断产生, 疏水电极表面在某一点气膜内压力迅速增大, 气膜在这一点凸起。此外, 由于疏水电极表面气膜的存在, 阻碍了疏水电极与电解液的接触, 降低了接触面积, 因此在相同电解电压下, 疏水电极表面产生气泡的速率比亲水电极表面产生气泡的速率慢。

由此可见, 疏水电极表面的气泡行为主由包覆在电极表面的气膜控制, 一旦气膜形成, 气膜将阻碍疏水电极与电解液的接触, 微观结构对于疏水电极上气泡的行为影响较小。而亲水电极表面不容

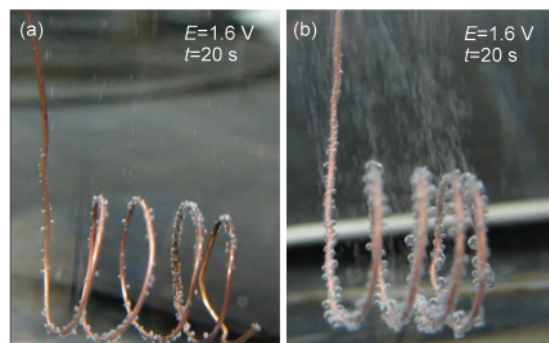


图9 电解水过程中不具有多孔结构的光滑亲水电极(a)和具有多孔结构亲水电极(b)表面的氢气泡行为

Fig.9 Behavior of hydrogen bubbles on the hydrophilic electrodes without (a) and with (b) hierarchical micropore structure during the process of water electrolysis

易黏附气泡, 气泡能够迅速离开电极, 微观结构对于亲水电极上气泡的行为影响较大。

3.3.2 多孔结构对亲水电极电解水性能的影响

图9为电解水过程中不具有多孔结构的光滑亲水电极和具有多孔结构的亲水电极表面的氢气泡行为。由图可知, 在1.6 V的电压下电解20 s, 相比光滑的亲水电极, 多孔结构的亲水电极电解水的时候, 电极表面产生气泡的速率较快, 气泡的数量较多, 而且黏附在电极表面的气泡的数量相对较少,

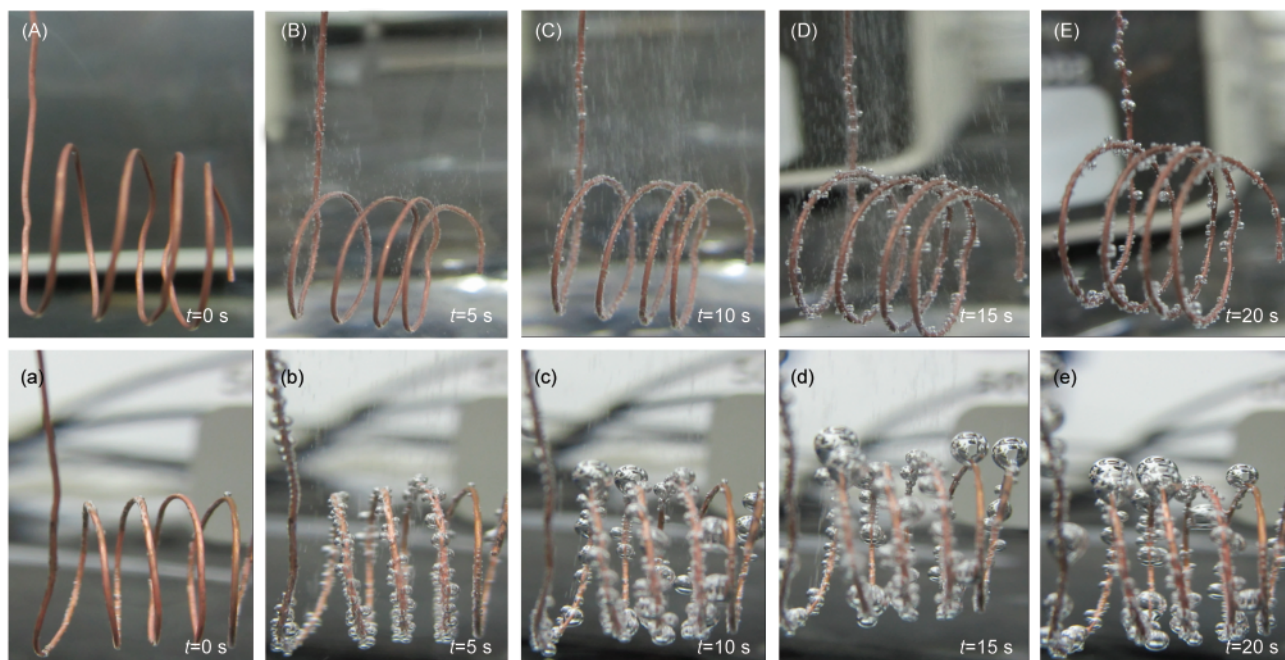


图8 电解水过程中结构相同的亲水性(A-E)和疏水性(a-e)电极表面的氢气泡行为

Fig.8 Behavior of hydrogen bubbles on the hydrophilic (A-E) and hydrophobic (a-e) electrodes with the same structure during the process of water electrolysis

$$E=1.6 \text{ V}$$

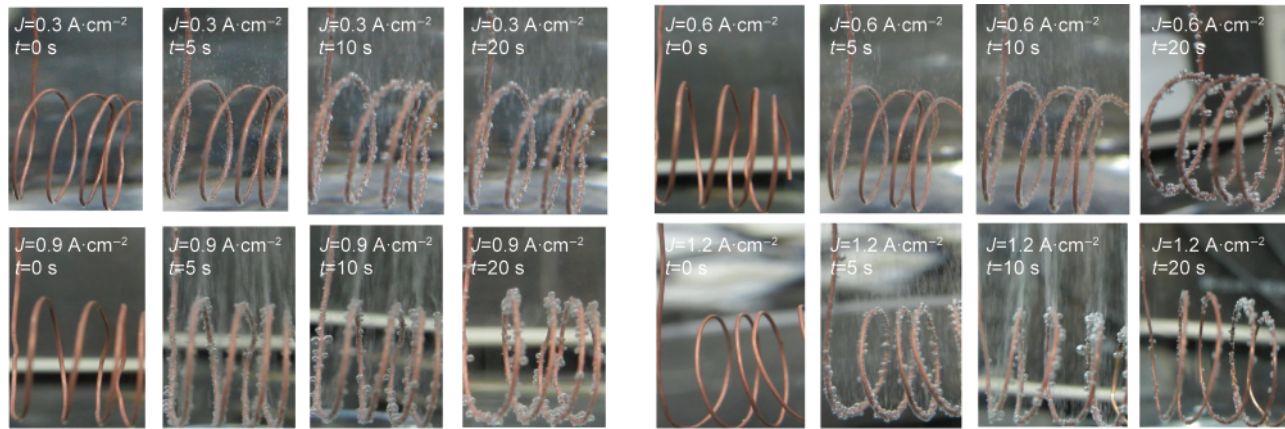


图 10 电解水过程中不同电镀电流密度下的多孔亲水电极表面氢气泡的行为

Fig.10 Behavior of hydrogen bubbles on the hierarchical micropore structure electrodes with different plating current density during the process of water electrolysis

$E=1.6\text{ V}$

大部分气泡直接从电极表面中冒出。这是因为多孔结构电极表面结构粗糙，含有许多的缝隙，当其浸入水中的时候，在这些微结构的缝隙中储存有少量的气体，这些少量的气体就能够为电解的气泡提供异相成核的中心，使得气泡产生的速率加快，数量增多。这样，在电极的表面就形成了微气流，不断地扰动电极表面边界层内的溶液，将电极表面黏附的气泡带离，使得多孔结构表面黏附的气泡数量减少。

图 10 为电解水过程中不同电镀电流密度下的多孔亲水电极表面氢气泡行为照片。由图 10 可知，在电镀电流密度较低时得到的具有较小孔径的多孔结构电极产生气泡的速率相对比较小，且倾向于黏附较小的气泡；增加电镀电流密度，多孔电极孔径增大，黏附的小气泡逐渐减少；继续增加电流密度，多孔电极的孔径继续增大，多孔电极黏附的气泡继续减少。这是由于，一方面，随着多孔电极多尺度结构孔径增大，孔径分布变宽，增大了电极与电解液的接触面积，提供了更多的成核中心，提高了气泡产生的数量，此外增大的孔径为产生的气泡提供了合并和逃逸的理想空间，即在多尺度孔径中的气泡更容易在较大的空间里生长成为较大的气泡，较大的气泡从电极表面的逃逸速率加快；另一方面，高电流密度下电镀得到的多尺度的多孔结构更容易被电解液浸润，表现出更好的亲水性，不倾向于黏附气泡。

4 结 论

本文比较了具有不同微观结构和界面化学组成的电极在给定条件下电解水过程中气泡的产生

及行为机制，实验结果表明，相对于亲水的多孔电极，疏水的多孔电极表面能够黏附气泡，更易倾向于形成稳定的气膜；多孔结构对于亲水电极表面气泡行为的影响比对疏水电极表面气泡行为的影响更为显著。与没有多孔结构的亲水电极相比，具有多孔结构的亲水电极产生的气泡数量多，速率快。与较小孔径的多孔亲水电极相比，较大孔径的多孔亲水电极表面产生气泡速率快且黏附气泡数量少。该研究结果为微气泡减阻电极的设计提供了理论依据。

References

- (1) Bechert, D. W.; Bruse, M.; Hage, W. *Experiments in Fluids* **2000**, *28*, 403. doi: 10.1007/s003480050400
- (2) Viswanath, P. R. *Progress in Aerospace Sciences* **2002**, *38*, 571. doi: 10.1016/S0376-0421(02)00048-9
- (3) El-Samni, O. A.; Chun, H. H.; Yoon, H. S. *International Journal of Engineering Science* **2007**, *45*, 436. doi: 10.1016/j.ijengsci.2007.03.002
- (4) L'vov, V. S.; Pomyalov, A.; Procaccia, I.; Tiberkevich, V. *Physical Review Letters* **2005**, *94*, 1. doi: 10.1103/PhysRevLett.94.174502
- (5) Shen, X. C.; Ceccio, S. L.; Perlin, M. *Experiments in Fluids* **2006**, *41*, 415. doi: 10.1007/s00348-006-0169-y
- (6) Deutsch, S.; Fontaine, A. A.; Moeny, M. J.; Petrie, H. L. *J. Fluid Mech.* **2006**, *556*, 309. doi: 10.1017/S0022112006009487
- (7) Mohanarangam, K.; Cheung, S. C. P.; Tu, J. Y.; Chen, L. *Ocean Engineering* **2009**, *36*, 863. doi: 10.1016/j.oceaneng.2009.05.001
- (8) Huang, J. *Journal of Hydrodynamics* **2009**, *21*, 93. doi: 10.1016/S1001-6058(08)60123-7
- (9) Dean, B.; Bhushan, B. *Phil. Trans. R. Soc. A* **2010**, *368*, 4775. doi: 10.1098/rsta.2010.0201

- (10) Jung, Y. C.; Bhushan, B. *J. Phys.: Condens. Matter* **2010**, *22*, 1. doi:10.1088/0953-8984/22/3/035104
- (11) Han, X.; Zhang, D. Y.; Li, X.; Li, Y. Y. *Chinese Science Bulletin* **2008**, *53*, 1587. doi: 10.1007/s11434-008-0219-3
- (12) Matras, Z.; Malcher, T.; Malcher, B. G. *Thin Solid Films* **2008**, *516*, 8848. doi: 10.1016/j.tsf.2007.11.057
- (13) Mowla, D.; Naderi, A. *Chemical Engineering Science* **2006**, *61*, 1549. doi: 10.1016/j.ces.2005.09.006
- (14) Li, C. F.; Sureshkumar, R.; Khomami, B. *J. Non-Newtonian Fluid Mech.* **2006**, *140*, 23. doi: 10.1016/j.jnnfm.2005.12.012
- (15) Bonn, D.; Amarouchene, Y.; Wagner, C.; Douady, S.; Cadot, O. *J. Phys.: Condens. Matter* **2005**, *17*, 1195. doi: 10.1088/0953-8984/17/14/008
- (16) McCormick, B. *J. Naval Eng.* **1973**, *85*, 11.
- (17) Madavan, N. K.; Deutsch, S.; Mrkle, C. L. *J. Physics Fluids* **1984**, *27*, 356. doi: 10.1063/1.864620
- (18) Jiang, L.; Wang, R.; Yang, B.; Li, T. J.; Tryk, D. A.; Fujishima, A.; Hashimoto, K.; Zhu, D. B. *Pure Appl. Chem.* **2000**, *72*, 73. doi: 10.1351/pac200072010073
- (19) Wang, J. M.; Yang, Q. L.; Wang, M. C.; Wang, C.; Jiang, L. *Soft Matter* **2012**, *8*, 2261. doi: 10.1039/c2sm06705f
- (20) Wang, J. M.; Zheng, Y. M.; Nie, F. Q.; Zhai, J.; Jiang, L. *Langmuir* **2009**, *25*, 14129. doi: 10.1021/la9010828
- (21) Yang, S. J.; Dammer, S. M.; Bremond, N.; Zandvliet, H. J. W.; Kooij, E. S.; Lohse, D. *Langmuir* **2007**, *23*, 7072. doi: 10.1021/la070004i
- (22) Shin, H. C.; Liu, M. L. *Chem. Mater.* **2004**, *16*, 5460. doi: 10.1021/cm048887b
- (23) Shin, H. C.; Dong, J.; Liu, M. L. *Adv. Mater.* **2003**, *15*, 1610.
- (24) Wang, J. M.; Zheng, Y. M.; Jiang, L. *Chem. J. Chin. Univ.* **2008**, *29*, 2484. [王景明, 郑咏梅, 江雷. 高等学校化学学报, **2008**, *29*, 2484.]
- (25) Du, C. G.; Xia, F.; Wang, S. T.; Wang, J. X.; Song, Y. L.; Jiang, L. *Chem. J. Chin. Univ.* **2010**, *31*, 421. [杜晨光, 夏帆, 王树涛, 王京霞, 宋延林, 江雷. 高等学校化学学报, **2010**, *31*, 421.]
- (26) Xu, F. Y.; Liu, L. J.; Qin, J.; Liu, B.; Mei, S. *Acta Phys. -Chim. Sin.* **2012**, *28*, 693. [徐飞燕, 刘丽君, 覃健, 刘贝, 梅双. 物理化学学报, **2012**, *28*, 693.] doi: 10.3866/PKU.WHXB201201111
- (27) Li, S. M.; Wang, Y. G.; Liu, J. H.; Wei, W. *Acta Phys. -Chim. Sin.* **2007**, *23*, 1631. [李松梅, 王勇干, 刘建华, 韦巍. 物理化学学报, **2007**, *23*, 1631.] doi: 10.3866/PKU.WHXB20071027